

# **11. Principy počítačového vidění**

V této přednášce se zaměříme výhradně na zpracování a rozpoznávání černobílých snímků představovaných maticemi  $m \times n$  pixelů.

Nechť každý pixel matice může nabývat  $k$  možných hodnot jasové funkce (úrovní šedi) a dále necht' označuje:

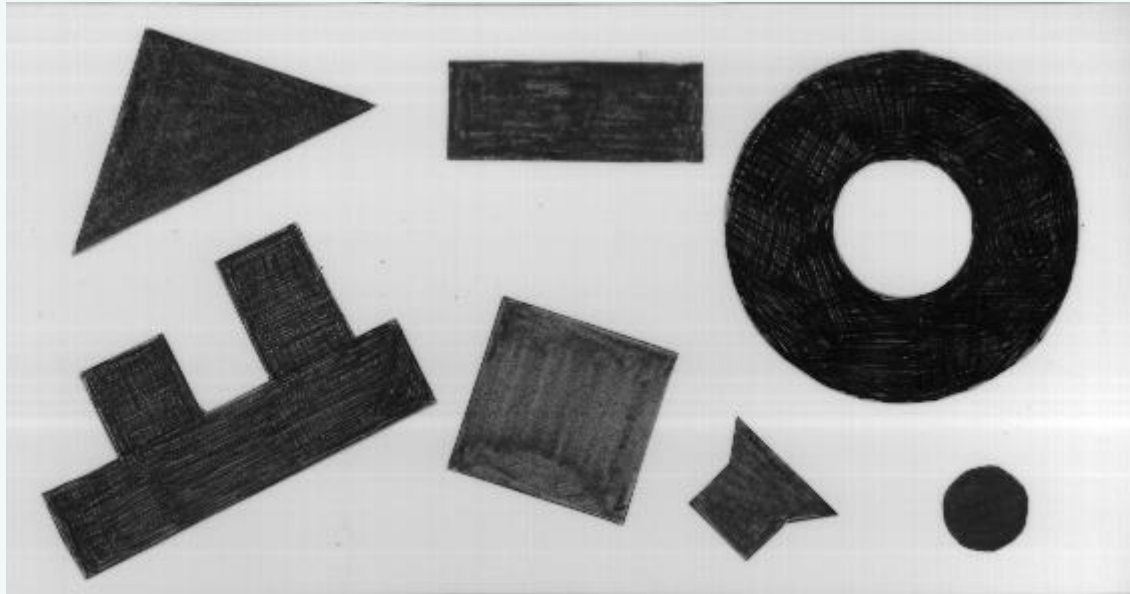
$I(u, v)$	aktuální hodnotu jasové funkce pixelu na pozici $(u, v)$ ,
$max$	maximální hodnotu jasové funkce,
$práh$	zvolenou hodnotu jasové funkce.

Monadické (jednobodové) transformace:

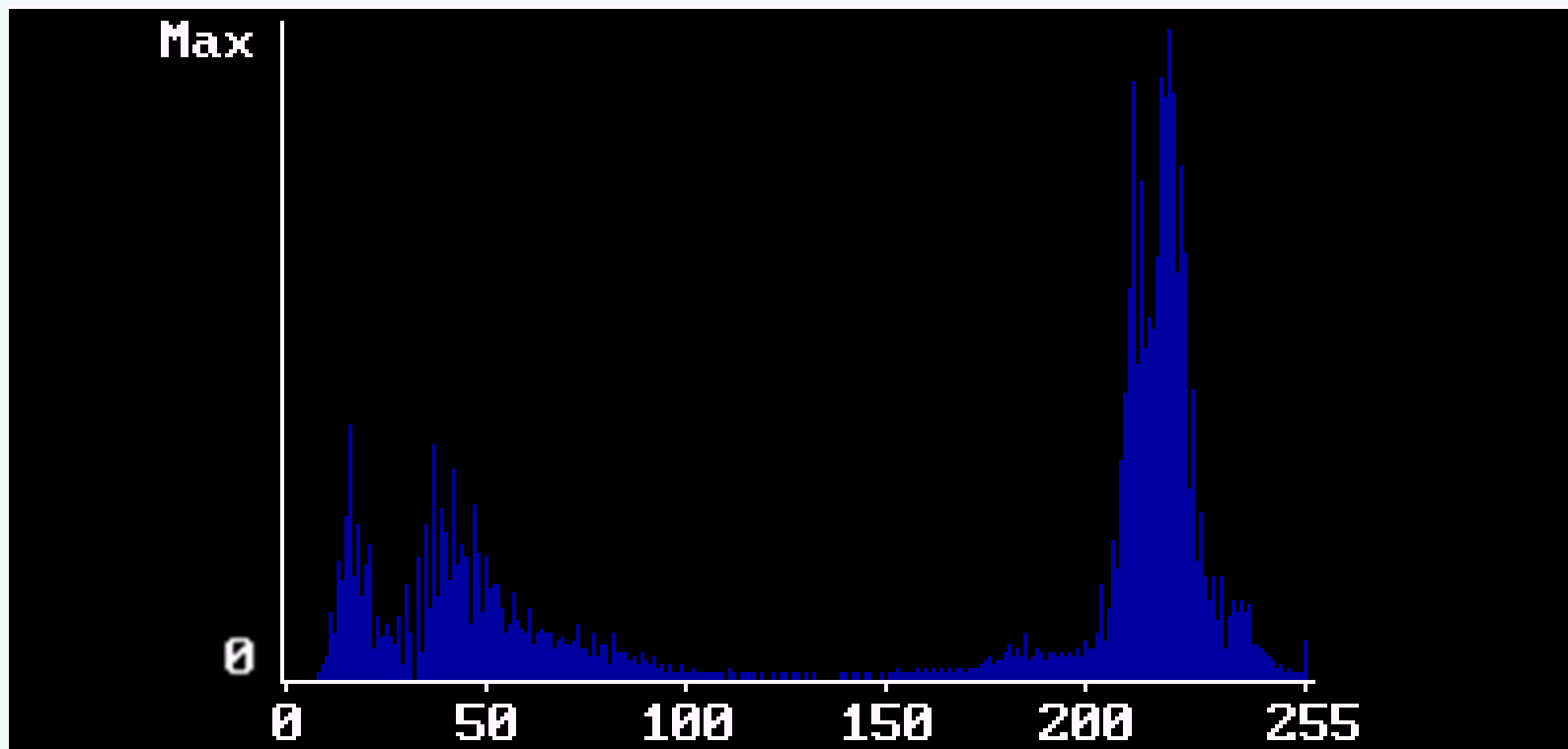
*Inverze:*  $I(u, v) = max - I(u, v)$

*Prahování:*  $I(u, v) = 0$  pro  $I(u, v) \leq práh$   
 $= max$  pro  $I(u, v) > práh$

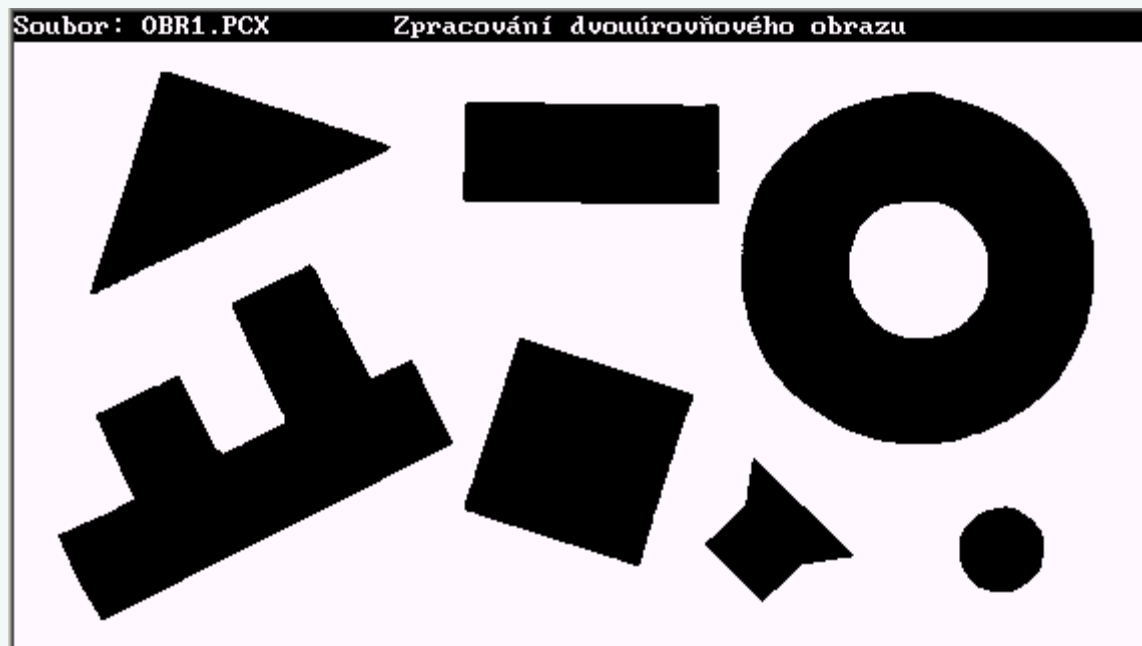
## Příklad: Snímané 2D objekty



Histogram (počet pixelů jako funkce jasu):



Výsledek po prahování – práh nastaven na hodnotu 128



Dyadické (dvoubodové) transformace:

$$I(u, v) = f(I_1(u, v), I_2(u, v))$$

*Součet obrazů* (redukce šumu):

$$I(u, v) = f((I_1(u, v) + I_2(u, v)))$$

*Rozdíl obrazů* (detekce změn):

$$I(u, v) = f(I_1(u, v) - I_2(u, v))$$

Funkce  $f$  transformuje výslednou hodnotu do intervalu přípustných hodnot jasové funkce (například do intervalu  $\langle 0, 255 \rangle$ ).

*Násobení obrazů (násobení obrazu maskou):*

- korekce nelinearit senzorů:

$$I(u, v) = f((I(u, v) \cdot m(u, v)) + I(u, v))$$

Maska reálných čísel  $m$  má stejnou dimenzi jako obraz, funkce  $f$  transformuje reálnou hodnotu na nejbližší vyšší celočíselnou hodnotu s omezením maximální hodnoty.

- realizace oken:

$$I(u, v) = I(u, v) \cdot m(u, v)$$

Prvky masky  $m$  jsou jedničky (v okně) nebo nuly (mimo okno).

## Prostorové transformace (filtry, konvoluce):

$$I(u, v) = \sum_{i=-a}^b \sum_{j=-c}^d h(i, j) I(u-i, v-j),$$

$$n = a + b + 1, \quad m = c + d + 1, \quad n = m = 3, 5, \dots$$

Dolní propusti:

$$h(i, j) \geq 0, \quad \sum h(i, j) = 1$$

Horní propusti:

$$\sum h(i, j) = 0$$

Dále budeme pro jednoduchost uvažovat pouze masky filtrů  $h$  o rozměrech 3 x 3, tj.:

$$I(u, v) = \sum_{i=-1}^1 \sum_{j=-1}^1 h(i, j) I(u-i, v-j),$$



Dolní propusti se používají především k redukci šumu.

*Box filtr* (hodnoty  $h(i,j)$  jsou stejné):

obraz se šumem

7	7	7	7	7	7
7	7	7	7	7	7
7	7	5	7	7	7
7	7	7	7	7	7
7	7	7	7	7	7

filtr

1/9	1/9	1/9
1/9	1/9	1/9
1/9	1/9	1/9

výsledný obraz

x	x	x	x	x	x
x	7	7	7	7	x
x	7	7	7	7	x
x	7	7	7	7	x
x	x	x	x	x	x

Přepočtené hodnoty barevně označených pixelů:

$$1/9 * (8 * 7 + 1 * 5) = 61/9 = 6.777 \rightarrow 7$$

obraz se šumem

7	7	7	7	7	7
7	7	7	7	7	7
7	7	9	7	7	7
7	7	7	7	7	7
7	7	7	7	7	7

filtr

1/9	1/9	1/9
1/9	1/9	1/9
1/9	1/9	1/9

výsledný obraz

x	x	x	x	x	x
x	7	7	7	7	x
x	7	7	7	7	x
x	7	7	7	7	x
x	x	x	x	x	x

Přepočtené hodnoty barevně označených pixelů:

$$1/9 * (8 * 7 + 1 * 9) = 65/9 = 7,222 \rightarrow 7$$

obraz se šumem

7	7	7	7	7	7
7	7	7	7	7	7
7	7	12	7	7	7
7	7	7	7	7	7
7	7	7	7	7	7

filtr

1/9	1/9	1/9
1/9	1/9	1/9
1/9	1/9	1/9

výsledný obraz

x	x	x	x	x	x
x	8	8	8	7	x
x	8	8	8	7	x
x	8	8	8	7	x
x	x	x	x	x	x

Přepočtené hodnoty barevně označených pixelů:

$$1/9 * (8 * 7 + 1 * 12) = 68/9 = 7,555 \rightarrow 8$$

*Gaussův filtr* méně ovlivňuje sousední pixely (lépe koresponduje s dvourozměrnou diskrétní Gaussovou funkcí):

obraz se šumem

7	7	7	7	7	7
7	7	7	7	7	7
7	7	12	7	7	7
7	7	7	7	7	7
7	7	7	7	7	7

filtr

$$1/16 * \begin{array}{|c|c|c|} \hline 1 & 2 & 1 \\ \hline 2 & 4 & 2 \\ \hline 1 & 2 & 1 \\ \hline \end{array}$$

výsledný obraz

x	x	x	x	x	x
x	7	8	7	7	x
x	8	8	8	7	x
x	7	8	7	7	x
x	x	x	x	x	x

Přepočtené hodnoty barevně označených pixelů:

$$1/16 * (12 * 7 + 4 * 12) = 132/16 = 8,25 \rightarrow 8$$

$$1/16 * (14 * 7 + 2 * 12) = 122/16 = 7,625 \rightarrow 8$$

$$1/16 * (15 * 7 + 1 * 12) = 112/16 = 7,0 \rightarrow 7$$

Lineární filtry však kromě odstraňování šumu vyhlazují obraz jako celek, tj. potlačují hrany a obrysy objektů na snímku. Proto se k redukci šumu používají častěji nelineární filtry, například mediánový filtr.

*Mediánový filtr* (seřadí hodnoty v daném okně a původní hodnotu středového pixelu nahradí mediánem):

obraz se šumem

7	7	7	7	7	7
7	6	7	8	7	7
7	7	12	7	7	7
7	7	5	7	7	7
7	7	7	7	7	7

5
6
7
7
7
7
7
7
8
12

← medián

výsledný obraz

x	x	x	x	x	x
x	7	7	7	7	x
x	7	7	7	7	x
x	7	7	7	7	x
x	x	x	x	x	x

Horní propusti se používají k detekci a zvýrazňování hran (na hranách se totiž výrazně mění hodnoty jasové funkce, a právě horní propusti tyto změny detekují)

*Sobelův operátor:*

<i>a</i>	<i>b</i>	<i>c</i>			
<i>d</i>	<i>e</i>	<i>f</i>			
<i>g</i>	<i>h</i>	<i>i</i>			

1	0	-1
2	0	-2
1	0	-1

1	2	1
0	0	0
-1	-2	-1

	<i>e</i>				

$$\begin{aligned}
 I(e) &= ( \Delta I_x(e)^2 + \Delta I_y(e)^2 )^{1/2} = \\
 &= ( ((I(a) + 2I(d) + I(g)) - (I(c) + 2I(f) + I(i)))^2 + \\
 &+ ((I(a) + 2I(b) + I(c)) - (I(g) + 2I(h) + I(i)))^2 )^{1/2}
 \end{aligned}$$

Pro orientaci hrany procházející pixelem *e* zřejmě platí

$$\varphi(e) = \arctan(\Delta I_x(e)/\Delta I_y(e))$$

*Sobelův operátor* (detekce hran):

7	7	7	7	7	7
7	7	7	7	7	7
7	7	7	7	7	7
7	7	7	7	7	7
7	7	7	7	7	7

1	0	-1
2	0	-2
1	0	-1

1	2	1
0	0	0
-1	-2	-1

x	x	x	x	x	x
x	0	0	0	0	x
x	0	0	0	0	x
x	0	0	0	0	x
x	x	x	x	x	x

Pro všechny pixely v obrázku bez hran platí  $\Delta I_x = \Delta I_y$ , a proto jejich nové hodnoty jsou nulové.

*Sobelův operátor (detekce hran):*

4	7	7	7	7	7
4	4	7	7	7	7
4	4	4	7	7	7
4	4	4	4	7	7
4	4	4	4	4	7

1	0	-1
2	0	-2
1	0	-1

1	2	1
0	0	0
-1	-2	-1

x	x	x	x	x	x
x	13	13	4	0	x
x	4	13	13	4	x
x	0	4	13	13	x
x	x	x	x	x	x

Přepočtené hodnoty barevně označených pixelů:

$$\Delta I_x = -9 \quad \Delta I_y = 9 \quad (\Delta I_x^2 + \Delta I_y^2)^{1/2} = 12,73 \rightarrow 13$$

$$\Delta I_x = -3 \quad \Delta I_y = 3 \quad (\Delta I_x^2 + \Delta I_y^2)^{1/2} = 4,24 \rightarrow 4$$

$$\Delta I_x = 0 \quad \Delta I_y = 0 \quad (\Delta I_x^2 + \Delta I_y^2)^{1/2} = 0 \rightarrow 0$$

Úhel hrany ve všech nenulových pixelech  $\varphi = \arctan(\Delta I_x / \Delta I_y) = \arctan(-1) = -\pi/4 = -45^\circ \Rightarrow$  hrana je přímka.



*Laplaceův operátor (zvýraznění hran):*

7	7	7	7	7	7
7	7	7	7	7	7
7	7	7	7	7	7
7	7	7	7	7	7
7	7	7	7	7	7

0	1	0
1	-4	1
0	1	0

x	x	x	x	x	x
x	0	0	0	0	x
x	0	0	0	0	x
x	0	0	0	0	x
x	x	x	x	x	x

13	13	4	0	0	0
4	13	13	4	0	0
0	4	13	13	4	0
0	0	4	13	13	4
0	0	0	4	13	13

0	1	0
1	-4	1
0	1	0

x	x	x	x	x	x
x	-18	-18	10	8	x
x	10	-18	-18	10	x
x	8	10	-18	-18	x
x	x	x	x	x	x

## Detekce rohů

Předchozí filtry/operátory byly založeny na skutečnosti, že na hranách se mění intenzita jasové funkce v jednom směru.

Pro detekci rohů může být použit podobný přístup, ale nyní se musí detekovat výrazné změny jasové funkce současně v několika směrech.

Nechť  $I_x$  značí první parciální derivaci jasové funkce  $I$  ve směru osy  $x$

$$I_x(u, v) = \frac{\partial I}{\partial x}(u, v) \cong \frac{\Delta I_x(u, v)}{\Delta x} = \frac{I(u+1, v) - I(u-1, v)}{2}$$

$I_y$  první parciální derivaci jasové funkce ve směru osy  $y$

$$I_y(u, v) = \frac{\partial I}{\partial y}(u, v) \cong \frac{\Delta I_y(u, v)}{\Delta y} = \frac{I(u, v+1) - I(u, v-1)}{2}$$

a dále necht'

$$\bar{A} = I_x^2, \quad \bar{B} = I_y^2, \quad \bar{C} = I_x I_y$$

Po vyhlazení předchozích tří funkcí (obvykle Gaussovým filtrem) je označíme symboly  $A$ ,  $B$ ,  $C$  a definujeme strukturální matici

$$M = \begin{bmatrix} A & C \\ C & B \end{bmatrix}$$

jejíž vlastní čísla  $\lambda_1$  a  $\lambda_2$  se získají z rovnice

$$\begin{bmatrix} A - \lambda & C \\ C & B - \lambda \end{bmatrix} = 0 \Rightarrow (A - \lambda)(B - \lambda) - C^2 = 0 \Rightarrow$$

$$\lambda^2 - (A + B)\lambda + (AB - C^2) = 0 \Rightarrow$$

$$\lambda_{1,2} = \frac{1}{2} \left( A + B \pm \sqrt{(A + B)^2 - 4(AB - C^2)} \right)$$

Pokud jsou obě hodnoty vlastních čísel  $\lambda_{1,2}$  pro pixel  $(u,v)$  malé, je oblast okolo tohoto pixelu plochá, pokud je hodnota  $\lambda_1$  velká a hodnota  $\lambda_2$  malá (opačně to být nemůže), může pixel  $(u,v)$  náležet hraně a pokud jsou obě hodnoty  $\lambda_{1,2}$  velké, stává se pixel  $(u,v)$  kandidátem na rohový pixel.

Je proto zřejmé, že rozdíl obou vlastních čísel

$$\lambda_1 - \lambda_2 = \sqrt{(A + B)^2 - 4(AB - C^2)}$$

by měl být pro rohové pixely malý.

*Harrisův detektor* vychází z tohoto předpokladu a pro hledání rohů používá funkci

$$Q = (AB - C^2) - \alpha(A + B)^2$$

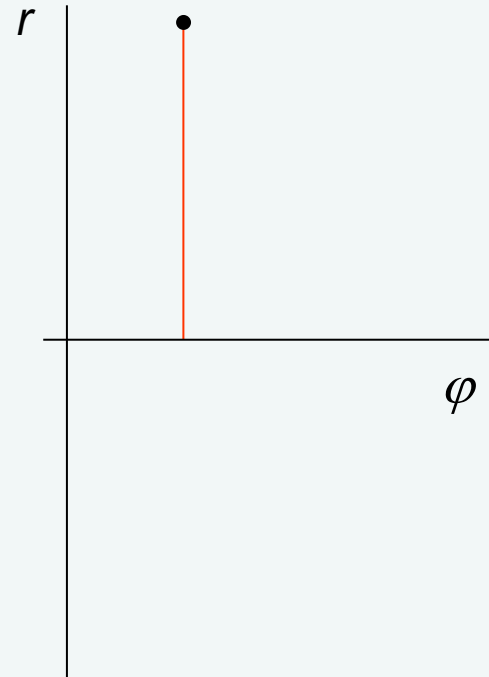
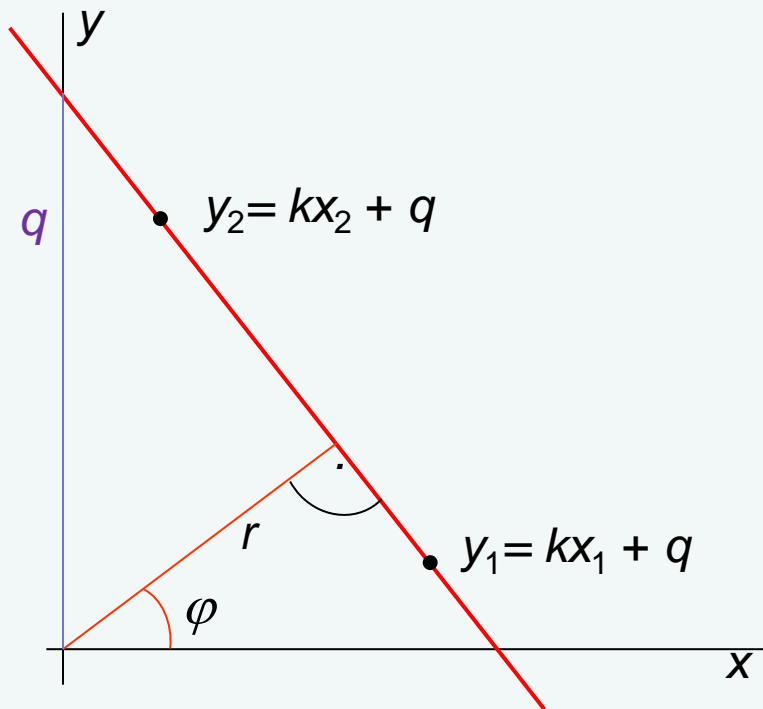
která vrací největší hodnoty právě pro rohové pixely. Koeficient  $\alpha$  se doporučuje volit z intervalu (0.04, 0.06) s tím, že čím vyšší je jeho hodnota, tím je detektor méně citlivý.

Činnost Harrisova detektoru je následující:

- Každý pixel  $(u,v)$  snímku, pro který je hodnota  $Q(u,v)$  větší než zvolený práh, je vybrán za kandidáta na rohový pixel.
- Všichni kandidáti na rohový pixel se umístí do množiny kandidátů, ze které se následně vyřazují všechny pixely, které mají nižší hodnocení, než jiné pixely v jejich topologickém sousedství.
- Zbylí kandidáti v množině kandidátů jsou pak považováni za skutečné rohové pixely.

## Detekce přímek

Všechny body přímky v prostoru souřadnic  $(x,y)$  musí vyhovovat rovnici  $y = kx + q$ , zatímco všechny body této přímky v prostoru parametrů  $(r,\varphi)$  představují jediný bod (Houghova transformace).

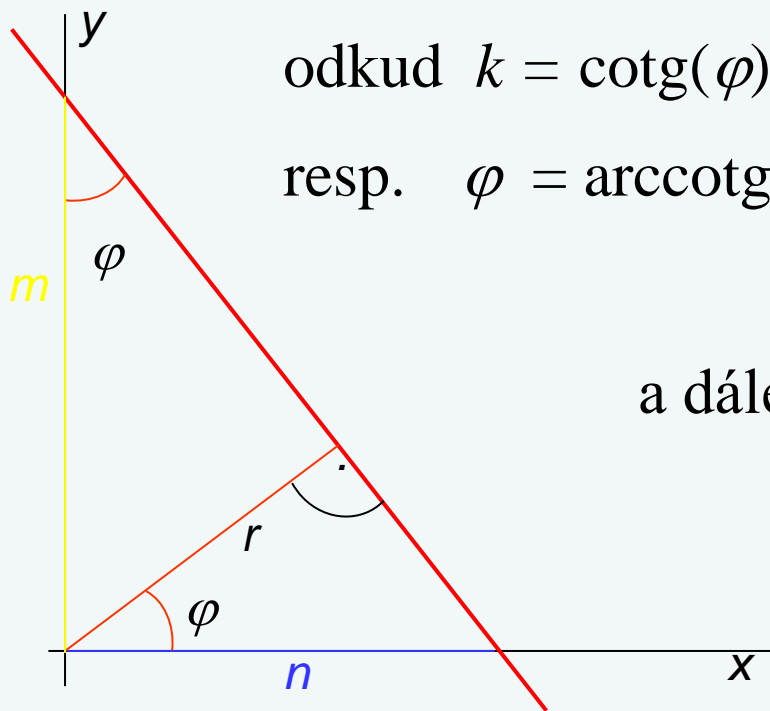


Platí (resp. lze odvodit) následující vztahy:

$$y = kx + q = -\frac{m}{n}x + m = -\frac{\overline{\sin(\varphi)}}{\overline{\cos(\varphi)}}x + \frac{r}{\sin(\varphi)} = \operatorname{cotg}(\varphi)x + \frac{r}{\sin(\varphi)}$$

odkud  $k = \operatorname{cotg}(\varphi)$  a  $q = r/\sin(\varphi)$

resp.  $\varphi = \operatorname{arccotg}(k)$  a  $r = q \sin(\operatorname{arccotg}(k))$

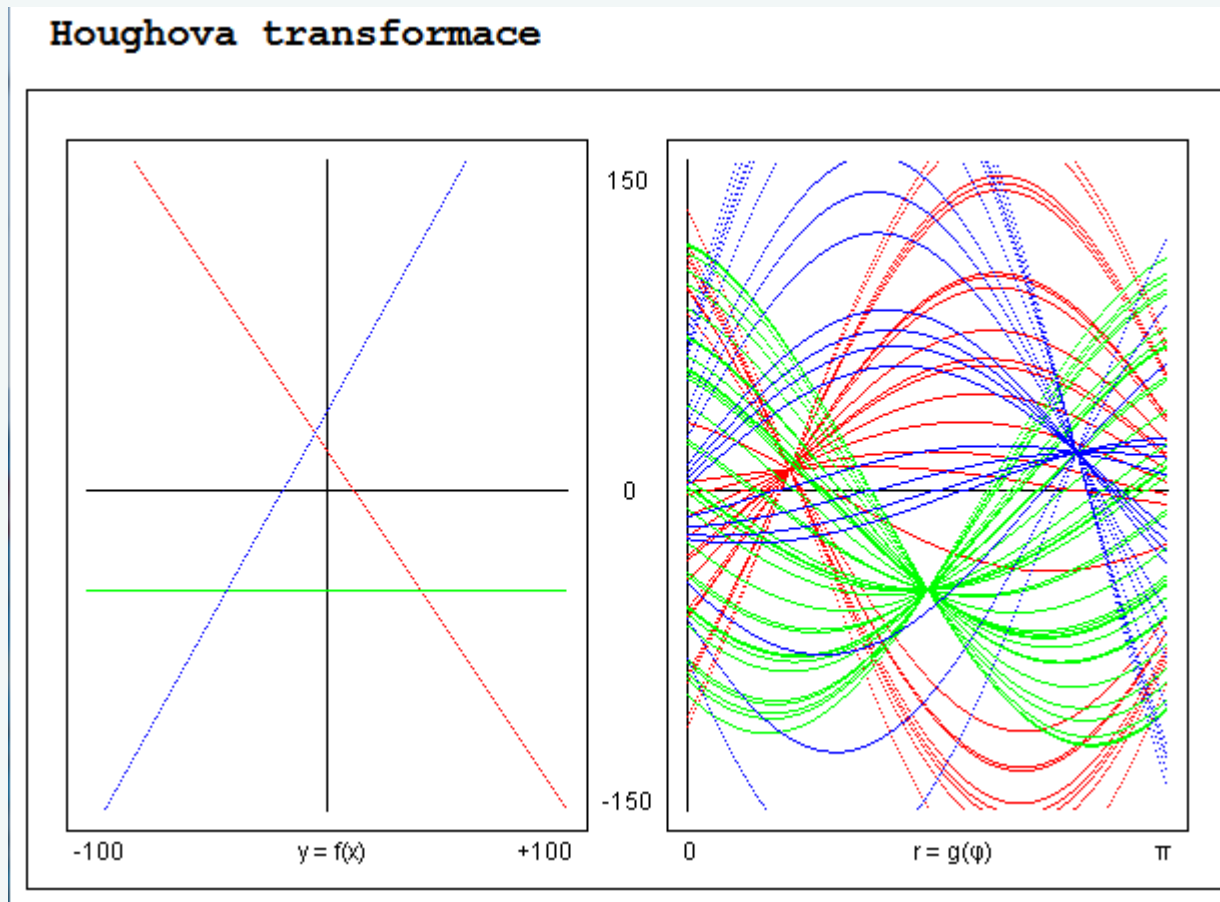


a dále  $y = -\frac{m}{n}x + m \Rightarrow \frac{y}{m} = -\frac{x}{n} + 1 \Rightarrow$

$$y \frac{\sin(\varphi)}{r} + x \frac{\cos(\varphi)}{r} = 1 \Rightarrow$$

$$r = y \sin(\varphi) + x \cos(\varphi)$$

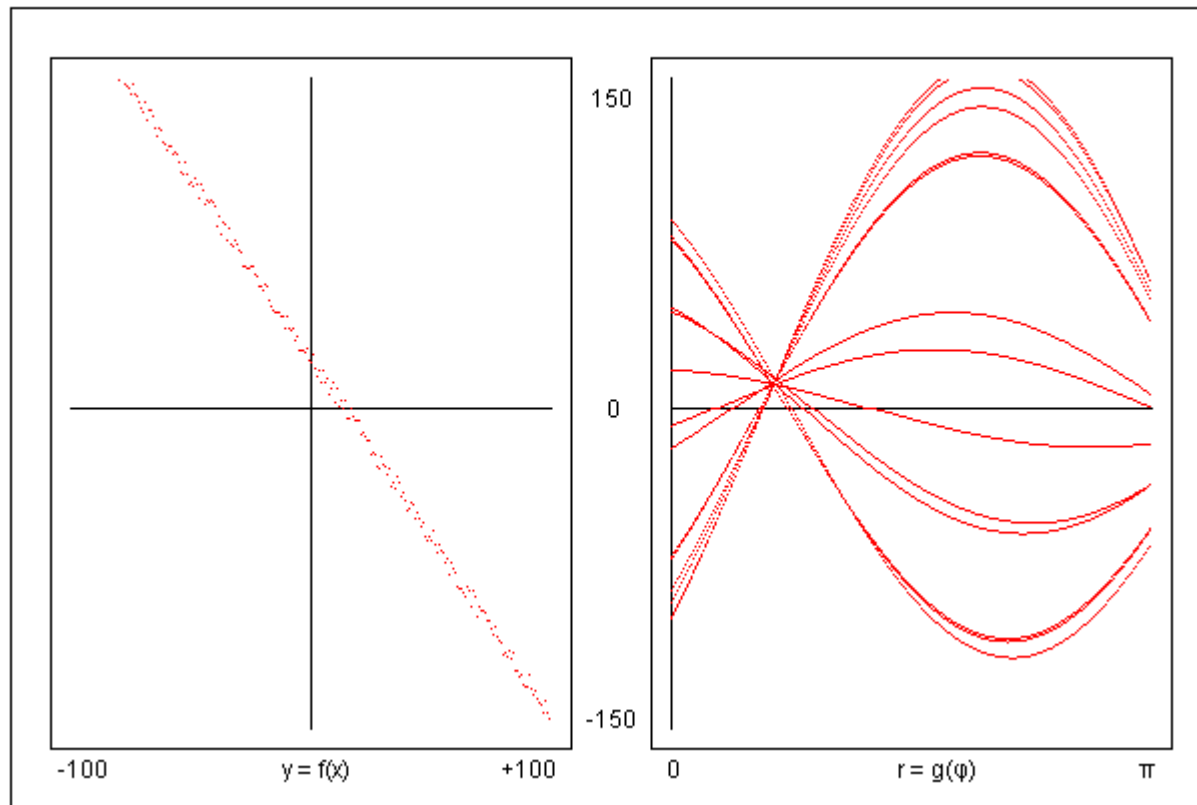
Zobrazení tří přímek v prostoru souřadnic a zobrazení některých jejich bodů v prostoru parametrů (všechny křivky reprezentující různé body jedné přímky se protínají vždy v jednom bodu!).





# Zobrazení „rozmazané“ přímky

## Houghova transformace



## Algoritmus HoughLines( $I$ )

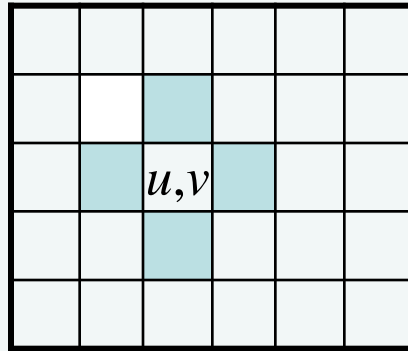
- Vytvořte dvourozměrné pole střádačů  $\text{Acc}[r, \varphi]$  a všechny jeho prvky vynulujte;
- Pro všechny pixely  $(u, v)$  snímku  $I$  provádějte
  - Je-li  $(u, v)$  pixelem hrany pak  
 $(x, y) = (u - u_c, v - v_c)$ , kde  $(u_c, v_c)$  značí střed snímku  $I$ 
    - Pro  $\varphi_i = 0 \dots \pi$  počítejte  $r_i = x \cos(\varphi_i) + y \sin(\varphi_i)$   
a inkrementujte hodnoty střádačů  $\text{Acc}[r_i, \varphi_i]$
- Vraťte seznam parametrů  $(r_i, \varphi_i)$  odpovídající nejvýraznějším nalezeným přímkám.

Pozn.: Podobným (ale značně složitějším) způsobem se postupuje při detekci kružnic a elips.

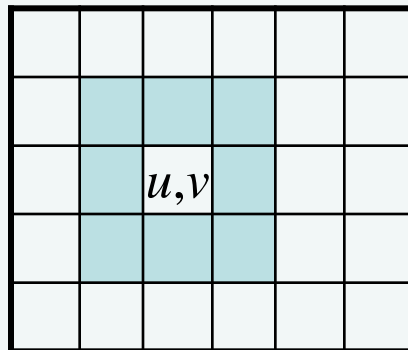
# Metrické a topologické vlastnosti snímku

## Sousedé pixelu $(u,v)$

4-okolí ( $N_4(u,v)$ ):  $(u,v+1), (u,v-1), (u+1,v), (u-1,v)$



8-okolí ( $N_8(u,v)$ ): 4-okolí +  $(u-1,v+1), (u-1,v-1), (u+1,v+1), (u+1,v-1)$



Spojitosť pixelů ( $V = \{g_i, \dots, g_m\}$  je množina úrovní šedi použitá pro definici spojitosti):

4-spojitosť: Dva pixely  $(s,t)$  a  $(u,v)$  jsou spojitě jestliže  
 $((u,v) \in N_4(s,t)) \wedge (I(s,t) \in V) \wedge (I(u,v) \in V)$

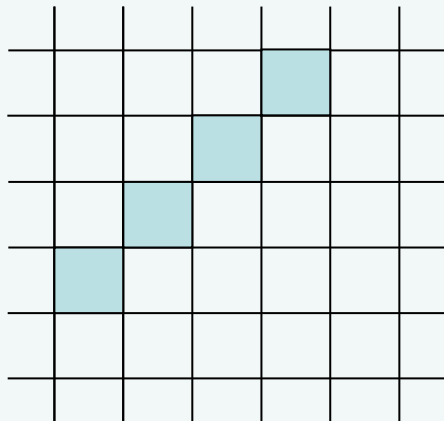
8-spojitosť: Dva pixely  $(s,t)$  a  $(u,v)$  jsou spojitě jestliže  
 $((u,v) \in N_8(s,t)) \wedge (I(s,t) \in V) \wedge (I(u,v) \in V)$

Plocha (oblast):

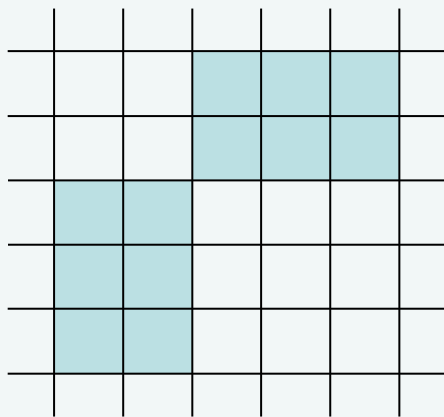
4-spojitou plochu/oblast tvoří dva 4-spojitě pixely a dále pak všechny další pixely, které mají v této ploše alespoň jednoho 4-spojitěho souseda.

8-spojitou plochu/oblast tvoří dva 8-spojitě pixely a dále pak všechny další pixely, které mají v této ploše alespoň jednoho 8-spojitěho souseda.

# Problémy:



v  $D_4$  nespojitá křivka (přímka) !



v  $D_8$  souvislá plocha !

## Hranice plochy (oblasti):

Hraniční pixel 4-spojité plochy má alespoň jednoho 4-sousedu uvnitř a alespoň jednoho 4-spojitého souseda vně této plochy.

Hraniční pixel 8-spojité plochy má alespoň jednoho 8-sousedu uvnitř a alespoň jednoho 8-spojitého souseda vně této plochy.

## Cesta:

4-spojité cesta z pixelu  $(s,t)$  do pixelu  $(u,v)$  je posloupnost různých pixelů se souřadnicemi  $(x_0,y_0), (x_1,y_1), \dots, (x_n,y_n)$ , pro kterou platí  $(x_0,y_0) = (s,t), (x_n,y_n) = (u,v)$  a pro každé  $i \in \langle 1,n \rangle$  dále platí, že pixel  $(x_i,y_i)$  je 4-spojité s pixelem  $(x_{i-1},y_{i-1})$ .

8-spojité cesta z pixelu  $(s,t)$  do pixelu  $(u,v)$  je posloupnost různých pixelů se souřadnicemi  $(x_0,y_0), (x_1,y_1), \dots, (x_n,y_n)$ , pro kterou platí  $(x_0,y_0) = (s,t), (x_n,y_n) = (u,v)$  a pro každé  $i \in \langle 1,n \rangle$  dále platí, že pixel  $(x_i,y_i)$  je 8-spojité s pixelem  $(x_{i-1},y_{i-1})$ .

Délka cesty: počet pixelů cesty – 1 (t.j. délka cesty =  $n$ ).

## Vzdálenosti pixelů $(s,t)$ , $(u,v)$ :

$$D((s,t),(u,v)) > 0,$$

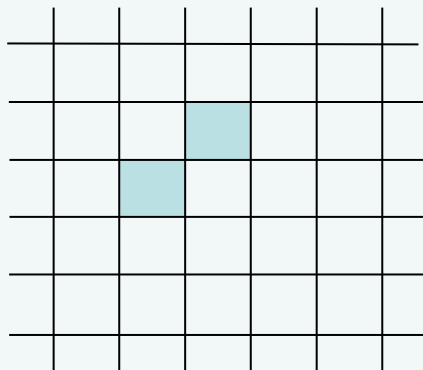
$$D((s,t),(u,v)) = D((u,v),(s,t)),$$

$$D((s,t),(u,v)) \leq D((s,t),(w,z)) + D((w,z),(u,v))$$

$$D_E((s,t),(u,v)) = \text{Sqrt}((s - u)^2 + (t - v)^2) \quad (\text{Euklidovská})$$

$$D_4((s,t),(u,v)) = |s - u| + |t - v| \quad (\text{4-okolí})$$

$$D_8((s,t),(u,v)) = \max(|s - u|, |t - v|) \quad (\text{8-okolí})$$



$$D_E = \sqrt{2}$$

$$D_4 = 2$$

$$D_8 = 1$$

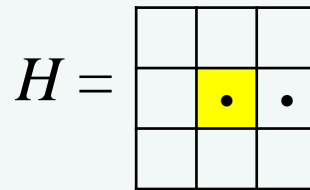
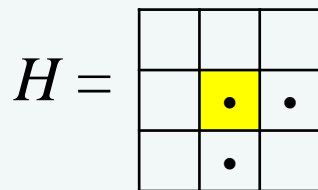
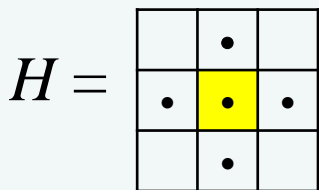


## Morfologické operace na dvojúrovňových (binárních) snímcích

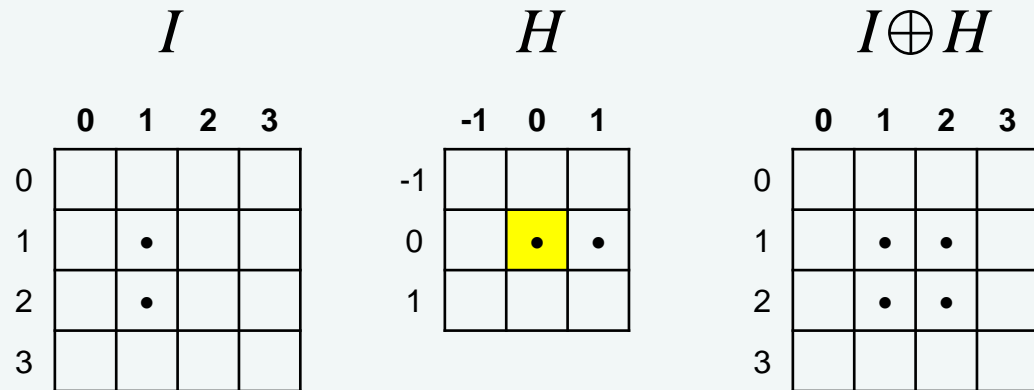
Označme symbolem  $I$  množinu všech bodů  $\mathbf{p}$  snímku, pro které platí  $I(\mathbf{p}) = 1$  a podobně symbolem  $H$  množinu všech bodů  $\mathbf{q}$  masky, pro které platí  $H(\mathbf{q}) = 1$ . Čtyři používané morfologické operace pak lze popsat takto:

- Dilatace  $I \oplus H \equiv \{\mathbf{p} + \mathbf{q} \mid \text{pro } \mathbf{p} \in I \text{ a současně } \mathbf{q} \in H\}$
- Eroze  $I \ominus H \equiv \{\mathbf{p} \mid \text{pro } (\mathbf{p} + \mathbf{q}) \in I \text{ a každé } \mathbf{q} \in H\}$
- Otevření  $I \circ H = (I \ominus H) \oplus H$
- Uzavření  $I \bullet H = (I \oplus H) \ominus H$

Morfologické masky  $H$  mohou být symetrické i nesymetrické, vždy však musí být zřejmý tzv. hot spot (výchozí bod masky). Příklady:



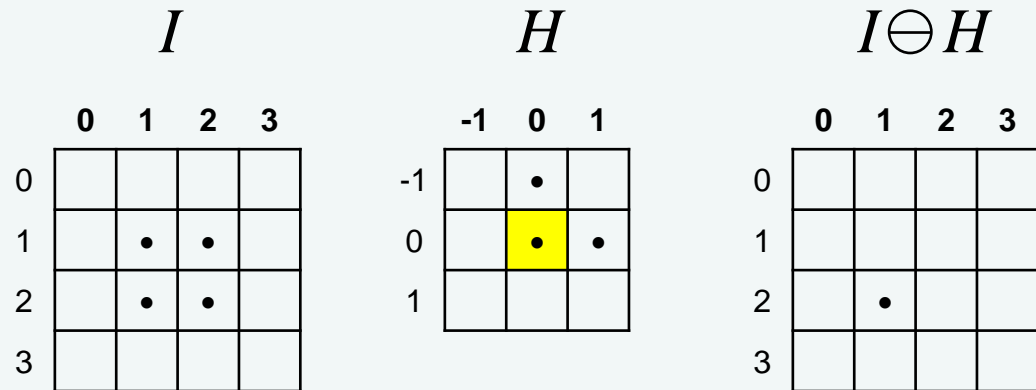
Příklad dilatace:



$$I \equiv \{(1,1), (2,1)\}, \quad H \equiv \{(0,0), (0,1)\}$$

$$I \oplus H = \{(1,1) + (0,0), (1,1) + (0,1), \\ (2,1) + (0,0), (2,1) + (0,1)\} = \\ \{(1,1), (1,2), (2,1), (2,2)\}$$

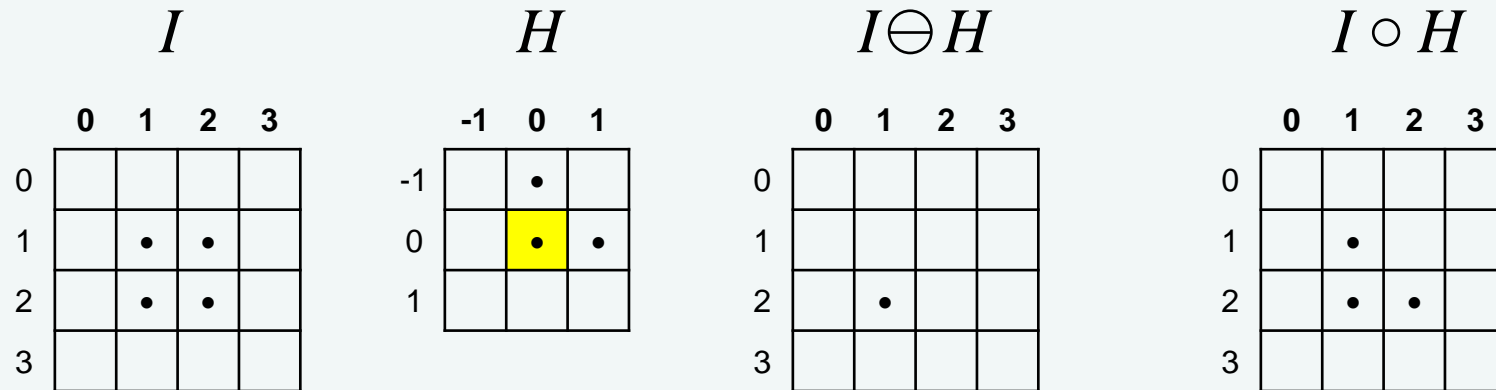
Příklad erose:



$$I \equiv \{(1,1), (1,2), (2,1), (2,2)\}, \quad H \equiv \{(-1,0), (0,0), (0,1)\}$$

$I \ominus H = \{(2,1)\}$ , protože pouze  $(2,1) + (-1,0) = (1,1) \in I$  a současně  
 $(2,1) + (0,0) = (2,1) \in I$  a současně  
 $(2,1) + (0,1) = (2,2) \in I$ .

Příklad otevření:



$$I \ominus H \equiv \{(2,1)\}, \quad H \equiv \{(-1,0), (0,0), (0,1)\}$$

$$I \circ H = (I \ominus H) \oplus H = \{(2,1) + (-1,0), (2,1) + (0,0), (2,1) + (0,1)\} = \{(1,1), (2,1), (2,2)\}$$

Příklad uzavření:

	$I$			
	0	1	2	3
0				
1		•		
2		•		
3				

	$H$		
	-1	0	1
-1			
0		•	•
1			

	$I \oplus H$			
	0	1	2	3
0				
1		•	•	
2		•	•	
3				

	$I \bullet H$			
	0	1	2	3
0				
1		•		
2		•		
3				

$$I \oplus H \equiv \{(1,1), (1,2), (2,1), (2,2)\}, \quad H \equiv \{(0,0), (0,1)\}$$

$$I \bullet H = (I \oplus H) \ominus H = \{(1,1), (2,1)\}, \text{ protože}$$

$$(1,1) + (0,0) = (1,1) \in I \oplus H \text{ and}$$

$$(1,1) + (0,1) = (1,2) \in I \oplus H \text{ and}$$

$$(2,1) + (0,0) = (2,1) \in I \oplus H \text{ and}$$

$$(2,1) + (0,1) = (2,2) \in I \oplus H$$

# Analýza scény z dvojúrovňových (binárních) černobílých snímků

- Dekompozice obrazů
- Rozpoznání obrazů

Dekompozice obrazů (tzv. barvení běhů) se provádí takto:

1. Zvolí se výchozí roh snímku, například horní levý a nastaví se index objektu na hodnotu 1.
2. Postupně pro každý řádek (shora dolů)
  - a. Prochází se a „přebarvují“ se jednotlivé pixely tohoto řádku (zleva doprava):
    - i. Pokud je hodnota aktuálního pixelu nulová a předchozí pixel měl hodnotu větší než nula, tak se inkrementuje index objektu.
    - ii. Pokud je hodnota pixelu rozdílná od nuly, tak:
      - Pokud je horním susedem aktuálního pixelu již obarvený pixel, tak se hodnota aktuálního pixelu a dále

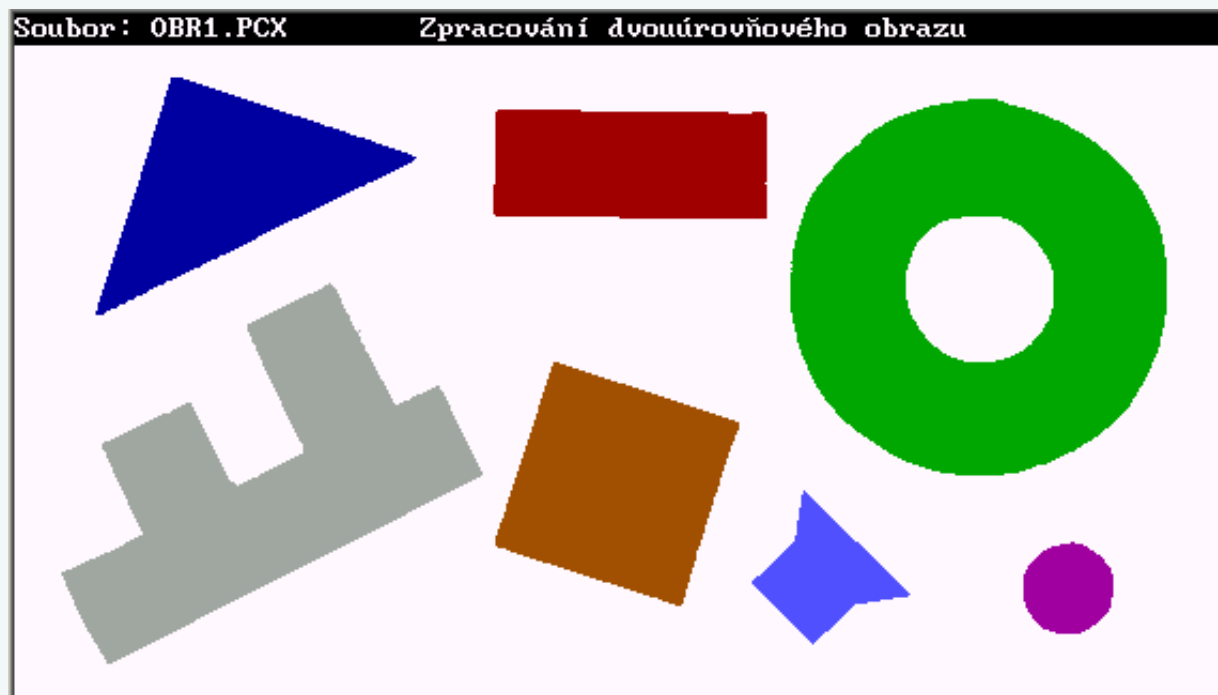
všech pixelů plochy, do které tento aktuální pixel patří, nastaví na hodnotu horního souseda a pokračuje se v procházení řádku (od bodu a.).

- Pokud je hodnota levého souseda aktuálního pixelu rozdílná od nuly, pak se hodnota aktuálního pixelu nastaví na hodnotu tohoto levého souseda a pokračuje se v procházení řádku (od bodu a).
- Pokud je hodnota levého souseda aktuálního pixelu nulová, tak se hodnota aktuálního pixelu nastaví na hodnotu indexu objektu a pokračuje se v procházení řádku (od bodu a).





# Obarvené obrazy na snímku po dekompozici



## Rozpoznávání obrazů

Příznaky pro rozpoznávání jednotlivých obrazů:

- Plocha (počet pixelů)
- Délka hranice (počet pixelů)
- Počet děr
- Plochy děr (počet pixelů)
- Kompaktnost  $(\text{délka hranice})^2 / \text{plocha}$
- Minimální a maximální vzdálenosti hranice od těžiště
- Průměrná vzdálenost hranice od těžiště
- Poměr ploch děr k celkové ploše
- Momenty

Obecné momenty:

$$m_{pq} = \sum_x \sum_y x^p y^q I(x, y) \quad I(x, y) \in \{0,1\}$$

Centrální momenty (jsou invariantní vůči posunutí):

$$\mu_{pq} = \sum_x \sum_y (x - \bar{x})^p (y - \bar{y})^q I(x, y)$$

$$\bar{x} = \frac{m_{10}}{m_{00}}, \quad \bar{y} = \frac{m_{01}}{m_{00}},$$

Normalizované centrální momenty (jsou invariantní i vůči změně velikosti):

$$\eta_{pq} = \frac{\mu_{pq}}{\mu_{00}^{\frac{p+q}{2}+1}}$$

RST (Rotate/Scale/Translate) invariantní momenty (jsou invariantní i vůči natočení)

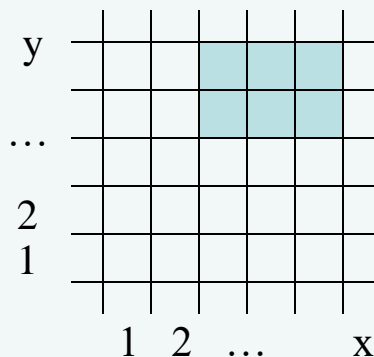
- druhé momenty:

$$\phi_1 = \eta_{20} + \eta_{02}$$

$$\phi_2 = (\eta_{20} - \eta_{02})^2 + 4\eta_{11}^2$$

- pro třetí/smíšené momenty je známo dalších pět vztahů.

Praktický výpočet:



$$m_{00} = \mu_{00} = 6 \quad (\text{počet pixelů obrazu})$$

$$\bar{x} = \frac{\sum x}{6} = \frac{24}{6} = 4$$

$$\bar{y} = \frac{\sum y}{6} = \frac{27}{6} = 4.5$$

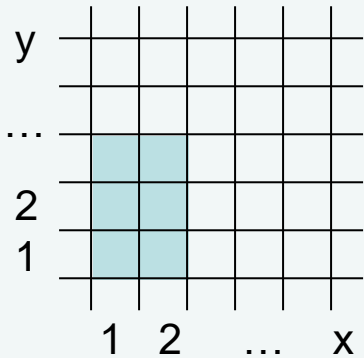
$$\eta_{20} = \frac{\mu_{20}}{\mu_{00}^2} = \frac{\sum (x - \bar{x})^2}{36} = \frac{2 * (-1)^2 + 2 * (0)^2 + 2 * (1)^2}{36} = \frac{1}{9}$$

$$\eta_{02} = \frac{\mu_{02}}{\mu_{00}^2} = \frac{\sum (y - \bar{y})^2}{36} = \frac{3 * (-0.5)^2 + 3 * (0.5)^2}{36} = \frac{1}{24}$$

$$\eta_{11} = \frac{\mu_{11}}{\mu_{00}^2} = \frac{\sum \sum (x - \bar{x})(y - \bar{y})}{36} = 0$$

$$\phi_1 = \eta_{20} + \eta_{02} = \frac{1}{9} + \frac{1}{24} = \frac{11}{72} = 0.153$$

$$\phi_2 = (\eta_{20} - \eta_{02})^2 + 4\eta_{11}^2 = \left(\frac{1}{9} - \frac{1}{24}\right)^2 + 0 = 4.82 * 10^{-3}$$



$$m_{00} = \mu_{00} = 6$$

$$\bar{x} = \frac{\sum x}{6} = \frac{9}{6} = 1.5$$

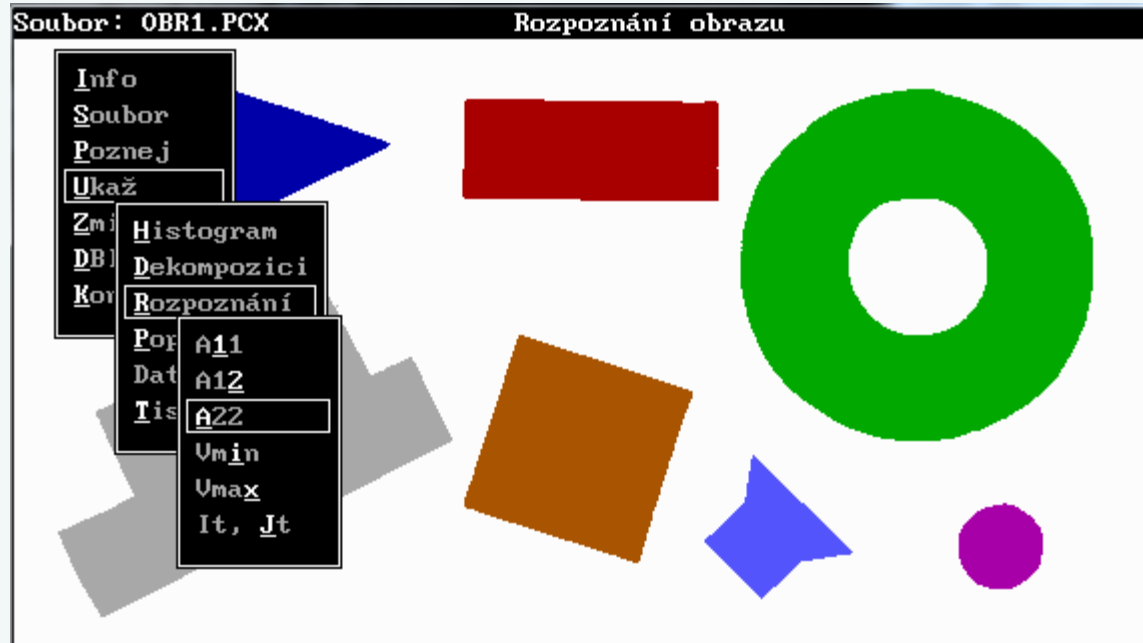
$$\bar{y} = \frac{\sum y}{6} = \frac{12}{6} = 2$$

$$\eta_{20} = \frac{\mu_{20}}{\mu_{00}^2} = \frac{\sum (x - \bar{x})^2}{36} = \frac{3 * (-0.5)^2 + 3 * (0.5)^2}{36} = \frac{1}{24}$$

$$\eta_{02} = \frac{\mu_{02}}{\mu_{00}^2} = \frac{\sum (y - \bar{y})^2}{36} = \frac{2 * (-1)^2 + 2 * (0)^2 + 2 * (1)^2}{36} = \frac{1}{9}$$

$$\eta_{11} = \frac{\mu_{11}}{\mu_{00}^2} = \frac{\sum \sum (x - \bar{x})(y - \bar{y})}{36} = 0$$

$$\phi_1 = 0.153, \quad \phi_2 = 4.82 * 10^{-3}$$

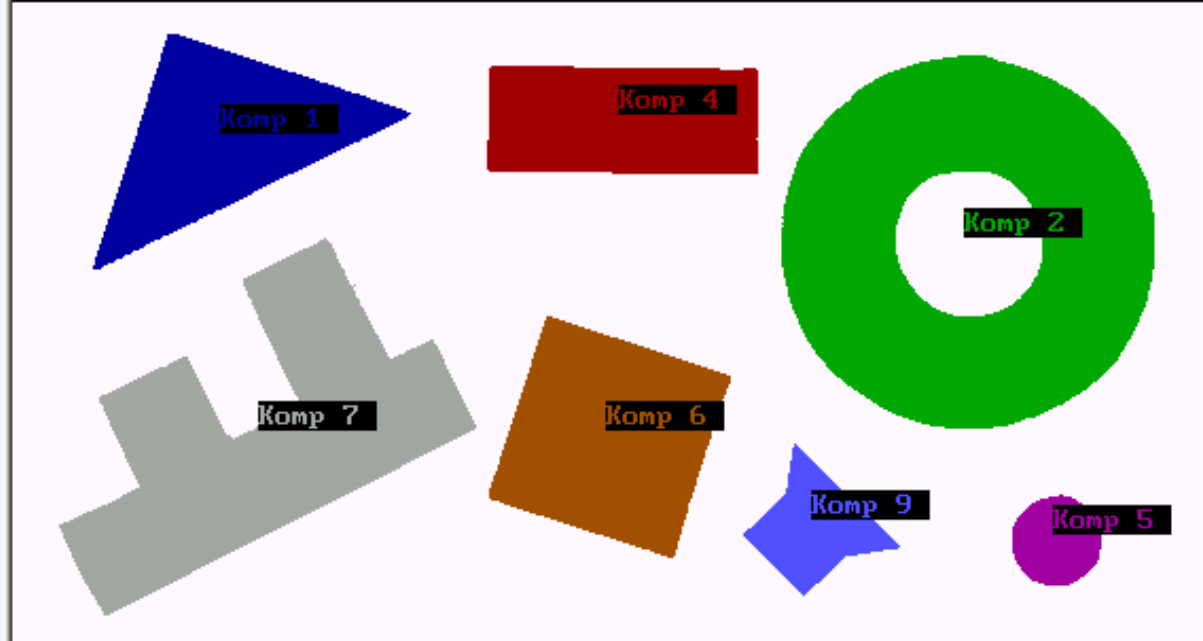


Pozn.: RST invariantní charakteristická čísla matice druhých momentů  $v_{min}$  a  $v_{max}$ , která byla použita v ukázkovém programu, a která jsou uvedena na předchozím snímku, se počítala z invariantních momentů  $\phi_1$  a  $\phi_2$  takto:

$$v_{min} = 0.5 \cdot \phi_1 - 0.5 \sqrt{\phi_2}$$

$$v_{max} = 0.5 \cdot \phi_1 + 0.5 \sqrt{\phi_2}$$





Komponenta	barvy		je: trojuhelnik
Komponenta	barvy		je: mezikruzi
Komponenta	barvy		je: obdelnik
Komponenta	barvy		je: kolecko
Komponenta	barvy		je: ctverec
Komponenta	barvy		je: parnik
Komponenta	barvy		je: trychtyr